топлива, попавшего на стенку камеры сгорания, и более равномерным распределением топлива по камере.

Выводы. 1. Определены места встречи топливных факелов серийных распылителей со стенкой камеры сгорания и по-казано, что серийные распылители не обеспечивают оптимальное расположение топливных факелов в камере сгорания.

- 2. Определены оптимальные углы трех-, четырех- и пятидырчатых распылителей для двигателей ММЗ с камерой ЦНИЛИ.
- 3. Установлено, что применение опытных четырехдырчатых распылителей взамен серийных улучшает экономичность двигателя. На номинальном режиме это улучшение составляет 3,0 г/кВт·ч.
- 4. Применение трехдырчатых распылителей ухудшает экономичность работы двигателя. Опытные пятидырчатые распылители улучшают экономичность двигателя на номинальном режиме по сравнению с серийными на 4,0 г/кВт·ч.

Литература

1. Пинский Д.М., Кухаренок Г.М., Рожанский В.А. Методика расчета расположения сопловых отверстий распылителей форсунки дизелей с камерой сгорания в поршне. — В сб.: Автотракторостроение. Вопросы оптимизации проектирования автомобилей, тракторов и их двигателей. — Минск, 1977, вып. 9. 2. Иванченко Н.Н., Семенов Б.Н., Соколов В.С. Рабочий процесс дизелей с камерой сгорания в поршне. — М., 1972.

УДК 629.114.2.032.1.073

Нгуен Динь Винь

К ОПРЕДЕЛЕНИЮ СИЛ И МОМЕНТОВ ТРЕНИЯ, ВЫЗВАННЫХ ВЗАИМОДЕЙСТВИЕМ МЕЖДУ ГУСЕНИЦАМИ И ГРУНТОМ ПРИ КРИВОЛИНЕЙНОМ ДВИЖЕНИИ

По литературным источникам известны функции трения, вызванные взаимодействием между опорными поверхностями гусениц и грунтом. Эти формулы были созданы на основании линейной зависимости между напряжением и деформацией грунта. Однако, как показывают исследования, функциональная зависимость между ними нелинейна. В настоящей работе сделана попытка уточнить формулы расчета сил и моментов трения.

Рассмотрим движение гусеничного самохода в общем случае. Приведем силы, действующие на гусеничный самоход (за исключением сил трения между гусеницами и грунтом) (рис. 1), к центру опорной площади О. Обозначим через М, Р и Р соответственно главный момент, поперечный и продольный главный вектор.

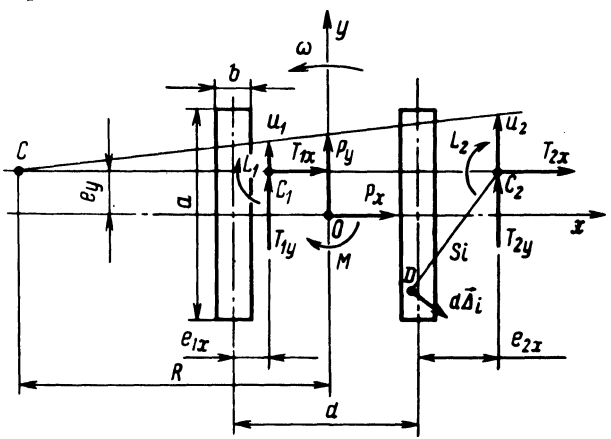


Рис. 1. Расчетная схема к определению сил и моментов трения.

При движении в плоскости взаимодействия движителями с грунтом возникают напряжения сдвига, напряжения среза по границам зацепов и напряжения за счет трения поверхностей вершин зацепов по грунту, обусловленные действием внешних сил. Силы и моменты трения реализуются за счет этих напряжений.

Примем, что напряжение сдвига нелинейно зависит от деформации грунта. Наиболее полно реальные процессы взаимодействия движителя со средой отражает формула, предложенная проф. В. В. Кацыгиным [1], в которой функциональная зависимость между напряжением сдвига и деформацией грунта подчиняется гиперболическому закону:

для плотных грунтов

$$\vec{\xi}_{\text{CH}} = f_{\text{CK}} q \left(1 + \frac{f_{\text{np}}}{\text{Ch} \frac{\vec{\Delta}}{k_{\tau}}} \right) \text{th} \frac{\vec{\Delta}}{k_{\tau}};$$
(1)

$$\overline{\zeta}_{CH} = f_{CK} q th \frac{\overline{\Delta}}{k_{\tau}},$$
 (2)

где f_{CK} -коэффициент трения скольжения, q - удельное давление опорной части на грунт, $f_{\Pi D}$ - приведенный коэффициент трения, Δ - деформация грунта, k_{ζ} - коэффициент деформации.

Считаем, что конструктивные параметры почвозацепов существенно влияют на условие сдвига. Тогда формула расчета напряжений сдвига, возникающих в плоскости взаимодействия движителя с грунтом, примет следующий вид: для плотных грунтов

$$\vec{\tau}_{\text{CA}} = k f_{\text{CK}} q \left(1 + \frac{f_{\text{mp}}}{\cosh \frac{\Delta}{k_{\tau}}} \right) \text{th} \frac{\vec{\Delta}}{k_{\tau}};$$
(3)

для пластичных грунтов

где k - коэффициент, учитывающий влияние конструктивных параметров почвозацепов на усилие сдвига.

С целью упрощения в процессе расчета функций трения используем приведенное напряжение:

$$\tau_{np} = k_{np} \overline{\tau}_{cn} , \qquad (5)$$

где k — приведенный коэффициент напряжения, зависящий от значения напряжений среза по границам зацепов, трения поверхностей вершин зацепов и конструктивных параметров зацепов, числа звеньев опорной ветви гусениц.

При этом поперечная и продольная составляющие приведенного напряжения отстающей или забегающей гусениц, возникающие в плоскости взаимодействия гусениц с грунтом, определяются следующими формулами:

для плотных грунтов:

$$\zeta_{\text{np ix}} = k_{\text{np}} k_{\text{cki}} q_{i} \left(1 + \frac{f_{\text{npi}}}{\Delta_{\text{ix}}} \right) th \frac{\Delta_{\text{ix}}}{k_{\tau_{i}}};$$
(6)

$$\zeta_{\text{np iy}} = k_{\text{np kf}} k_{\text{ck i}} q_{i} \left(1 + \frac{f_{\text{npi}}}{ch \frac{\Delta_{iy}}{k_{\tau_{i}}}} \right) th \frac{\Delta_{iy}}{k_{\tau_{i}}};$$
(7)

для пластичных грунтов

$$\zeta_{\text{np ix}} = k_{\text{np cx i}} q_{\text{i}} \text{ th } \frac{\Delta_{\text{ix}}}{k_{\tau_{\text{i}}}};$$
(8)

$$\zeta_{\text{np iy}} = k_{\text{np}} k f_{\text{cki}} q_{i} th \frac{\Delta_{iy}}{k_{\zeta_{i}}},$$
(9)

здесь и в дальнейшем i = 1,2 - индекс, соответствующий отстающей и забегающей гусеницам.

Допустим, что во время движения центры вращения (мгновенные центры скоростей) опорной поверхности гусениц находятся в точках C_1 , C_2 , а угловая скорость машины равна ω . Тогда каждая точка поверхности грунта, расположенная под опорной площадью гусениц, сдвигается с некоторой скоростью вместе с гусеницей по опорной плоскости. По закону кинематики скорость тангенциальной деформации грунта под опорными поверхностями гусениц можно выразить

$$\frac{\overrightarrow{d\Delta}_{i}}{dt} = \overrightarrow{\omega} \times \overrightarrow{\rho}_{i}, \tag{10}$$

откуда, составляющие скорости для произвольно выбранной точки под опорной площадью гусениц

$$\frac{d\Delta_{ix}}{dt} = -\omega(y - e_y); \qquad (11)$$

$$\frac{d\Delta_{iy}}{dt} = -\omega e_{ix}, \qquad (12)$$

где $\mathbf{e}_{\mathbf{i}\mathbf{x}}$, $\mathbf{e}_{\mathbf{y}}$ – поперечный и продольный эксцентриситеты по-люсов вращения гусениц.

В течение бесконечно малого промежутка времени

$$dt = \frac{dy}{u_i}, \qquad (13)$$

где u_i — заданная начальная скорость отстающей или забегающей гусеницы.

Подставив выражение (13) в уравнения (11) и (12), по-лучим

$$\Delta_{ix} = -\int \frac{\omega}{u_i} (y - e_y) dy = -\frac{\omega}{u_i} \left[\frac{1}{2} (y^2 - \frac{a^2}{4}) - e_y (y - \frac{a}{2}) \right] (14)$$

$$\frac{a}{2}$$

$$\omega e_i$$

$$\Delta_{iy} = -\int_{\frac{a}{2}}^{\frac{y}{\omega_i}} e_{ix} dy = -\frac{\omega e_{ix}}{u_i} (y - \frac{a}{2}) . \qquad (15)$$

Из расчетной схемы (рис. 1) можно получить уравнения расчета функций трения отстающей и забегающей гусениц в виде d+b а

$$T_{ix} = \int_{F} \tau_{np \ ix} dF = \int_{\frac{d-b}{2}} \int_{-\frac{a}{2}} \tau_{np \ ix} dxdy \qquad (16)$$

$$T_{iy} = \iint_{F} \tau_{\pi p \ iy} dF = \int_{\frac{d-b}{2}}^{\frac{d+b}{2}} \int_{\frac{\pi p \ iy}{2}}^{\frac{a}{2}} dxdy; \qquad (17)$$

$$L_{i} = \iint_{F} \left[\zeta_{\pi p i x} (y - e_{y}) + \zeta_{\pi p i y} e_{i x} \right] dF =$$

$$\left(\frac{d + b}{2} \right) \left(\frac{a}{2} \right) \left[\frac{d + b}{2} \right] dF =$$
(18)

$$= \int \frac{\frac{d+b}{2}}{\frac{d-b}{2}} \int \frac{\frac{a}{2}}{\frac{a}{2}} \left[\tau_{\text{np ix}} (y-b_y) + \tau_{\text{np iy}} e_{ix} \right] dxdy,$$

где T_{ix} , T_{iy} , L_{i} — соответственно поперечная, продольная сила и момент трения отстающей или забегающей гусениц.

Подсчитаем функции трения при условии плотных грунтов. Исходя из уравнений (6), (7), (14), (15) и (17), (18), на-ходим

$$T_{iy} = k_{\pi p} k f_{cki} q_i \frac{k_{\tau_i} u_i}{\omega e_{ix}} \left[\ln \left(ch \frac{a \omega e_{ix}}{k_{\tau_i} u_i} \right) + \frac{1}{ch \frac{a \omega e_{ix}}{k_{\tau_i} u_i}} \right]; \qquad (19)$$

$$L_i = k_{\pi p} k f_{cki} q_i \frac{k_{\tau_i} u_i}{\omega} \left[\ln \left(ch \frac{a \omega e_y}{k_{\tau_i} u_i} \right) + \ln \left(ch \frac{a \omega e_{ix}}{k_{\tau_i} u_i} \right) + \frac{1}{ch \frac{a \omega e_{ix}}{k_{\tau_i} u_i}} \right]$$

$$+ f_{\pi pi} \left(2 - \frac{1}{ch \frac{a \omega e_y}{k_{\tau_i} u_i}} - \frac{1}{ch \frac{a \omega e_{ix}}{k_{\tau_i} u_i}} \right) \right]. \qquad (20)$$

Решение уравнения (16) может быть получено непосредственным интегрированием. Однако результат этого метода получается сложным и громоздким. Проще из расчетной схемы можно записать

$$T_{ix}e_{y}+T_{iy}e_{ix}=L_{i},$$
(21)

подставив выражения (19), (20) в уравнение (21), после преобразования получим

$$T_{ix} = k_{\pi p} k_{c \kappa_i}^f q_i \frac{k_{\tau_i}^u}{\omega e_y} \left[ln \left(ch \frac{a \omega e_y}{k_{\tau_i}^u} \right) + \right]$$

$$+f_{\pi p_{i}}\left(1-\frac{1}{\operatorname{ch}\frac{a\omega ey}{k_{\tau_{i}}u_{i}}}\right).$$
 (22)

В случае, когда гусеничный самоход сдвигается в плоскости пластичных грунтов, аналогично находим

$$T_{ix} = k_{\pi p} k_{c\kappa i} q_i \frac{k_{\tau_i} U_i}{\omega e_y} \ln(ch \frac{a\omega e_y}{k_{\tau_i} u_i}); \qquad (23)$$

$$T_{iy} = k_{\pi p} k f_{c\kappa i} q_i \frac{k_{\tau_i} u_i}{\omega e_{ix}} ln(ch \frac{a\omega e_{ix}}{k_{\tau_i} u_i}); \qquad (24)$$

$$L_{i} = k_{np} k_{cki} q_{i} \frac{k_{\tau_{i}} u_{i}}{\omega} \left[ln \left(ch \frac{a\omega e_{y}}{k_{\tau_{i}} u_{i}} \right) + \right]$$

+
$$\ln\left(\operatorname{ch}\frac{\operatorname{a\omega}\operatorname{e}_{ix}}{\operatorname{k}_{\operatorname{G}i}\operatorname{u}_{i}}\right)$$
 (25)

Таким образом, по предложенной методике можно определить с большей точностью значение сил и моментов трения.Силы и моменты трения между гусеницами и грунтом зависят от скоростей движения гусениц, экспентриситетов центра вращения гусениц, физико-механических свойств и неровности, нагрузок, действующих на гусеницы, конструктивных параметров гусениц и других факторов.

1. Кацыгин В.В. Вопросы сельскохозяйственной механики.-Минск, 1964, т. Ш. 2. Опейко Ф.А. Колесный и гусеничный ход. - Минск, 1960.